

FIG 2A

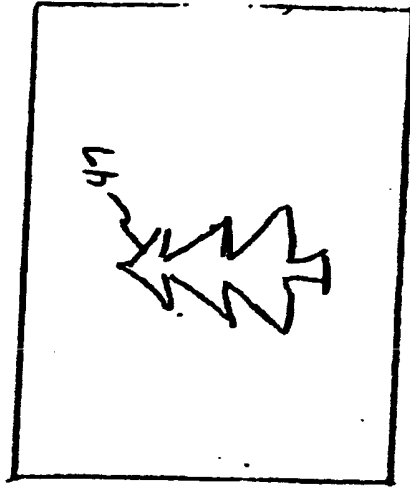


FIG 2B

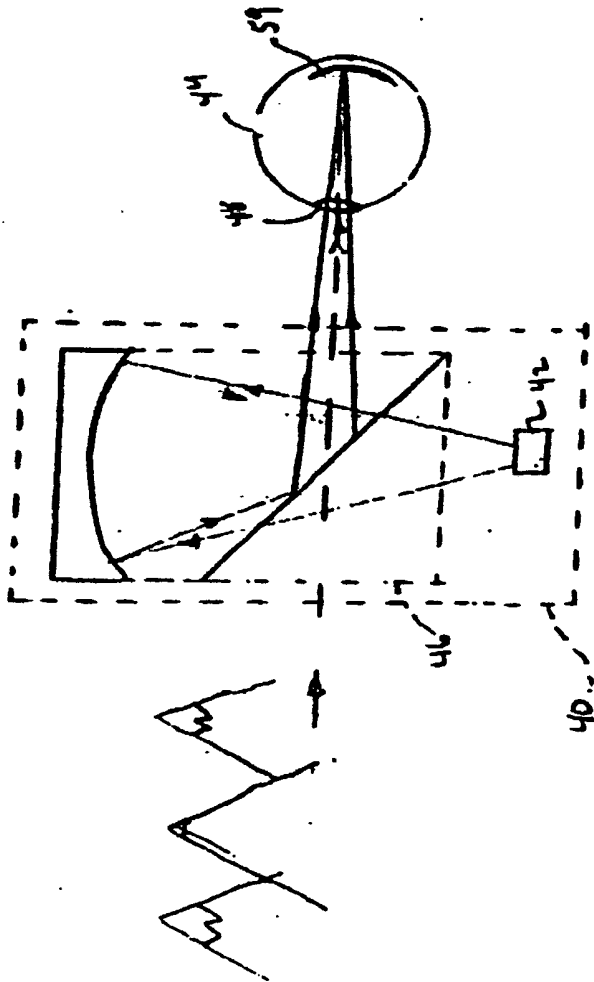


FIG 1

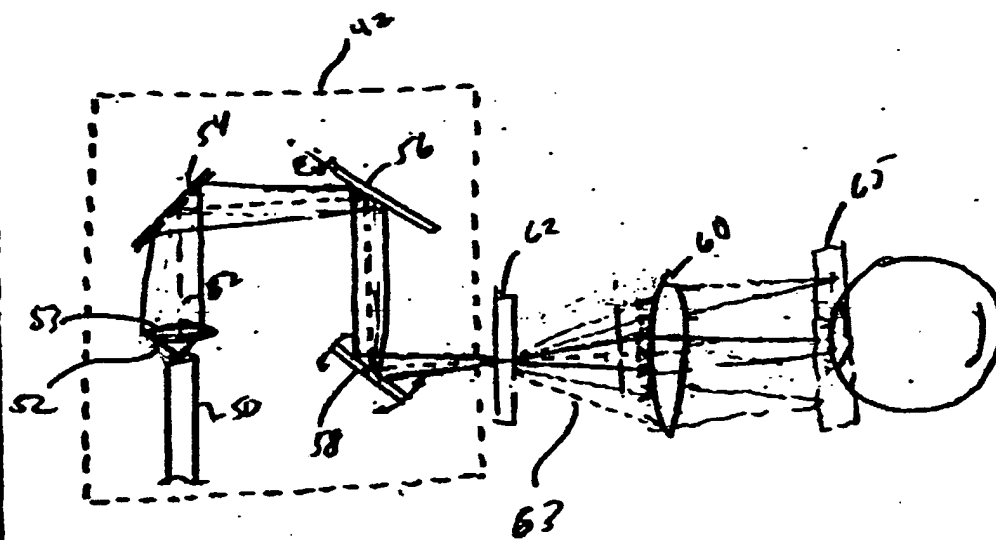


FIG 3

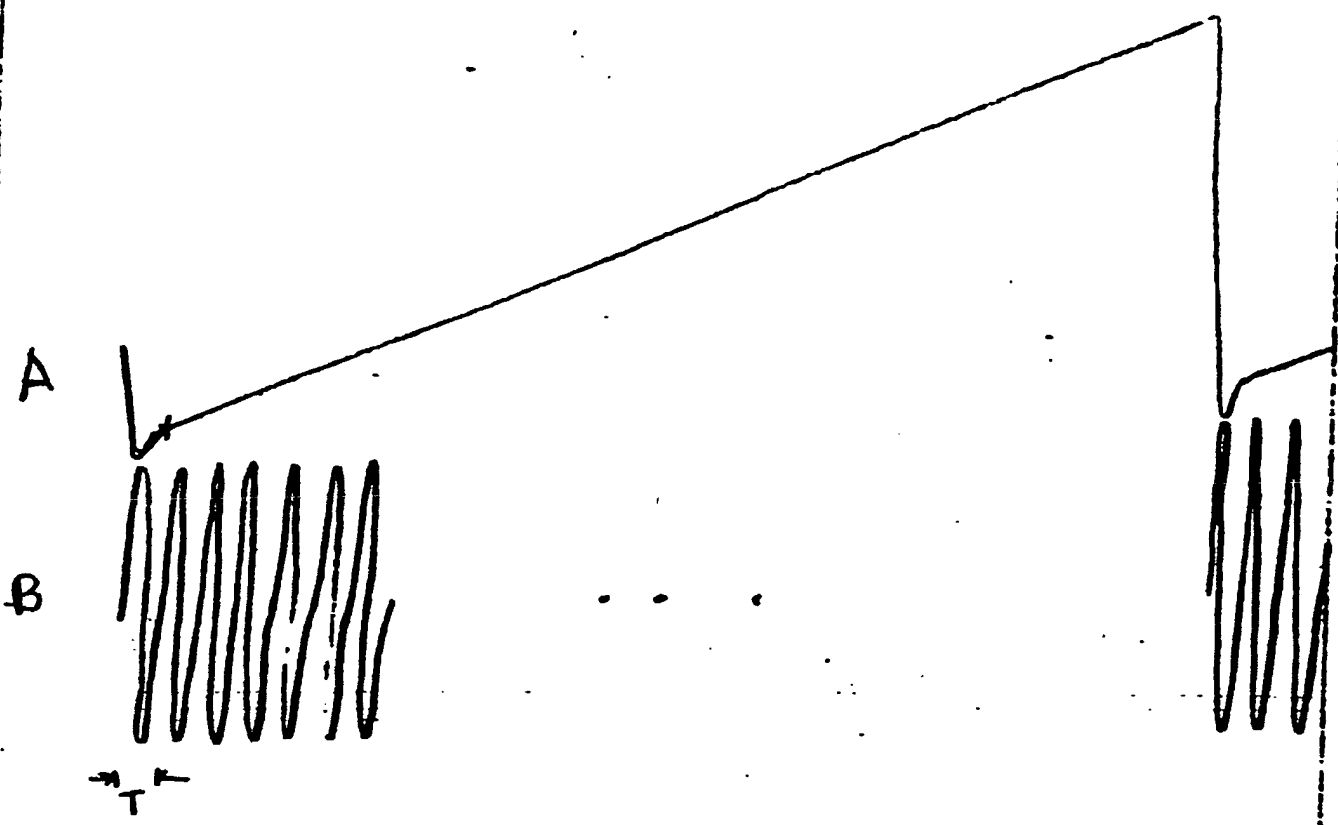


Fig. 4.

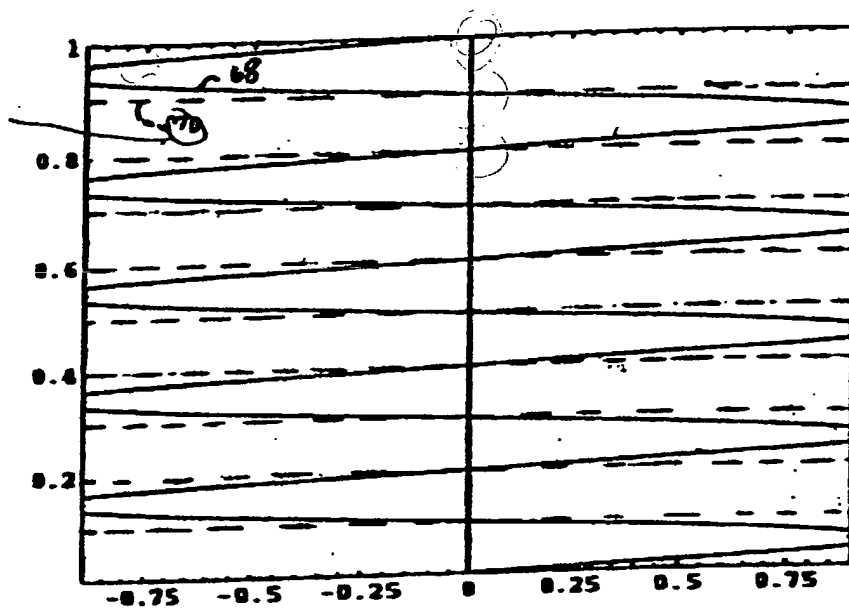


FIG 5

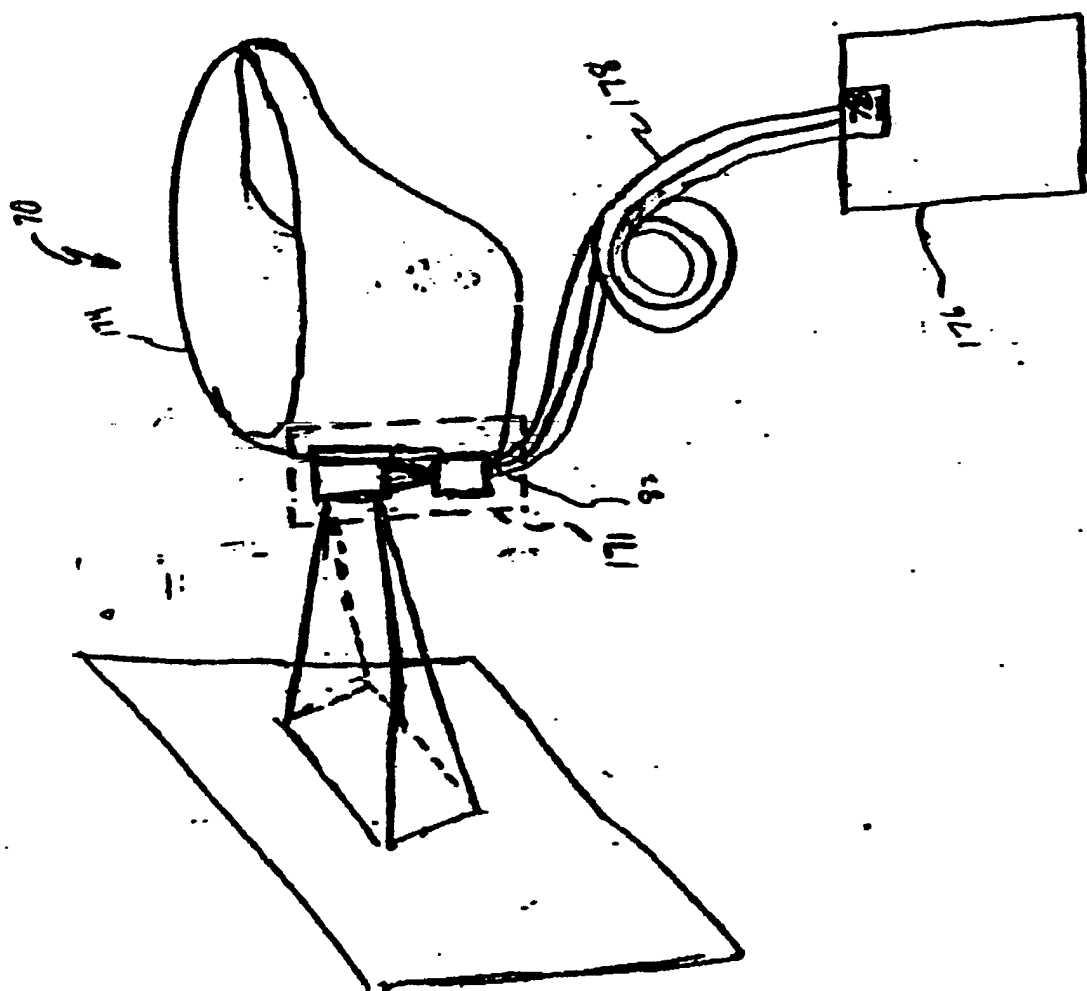
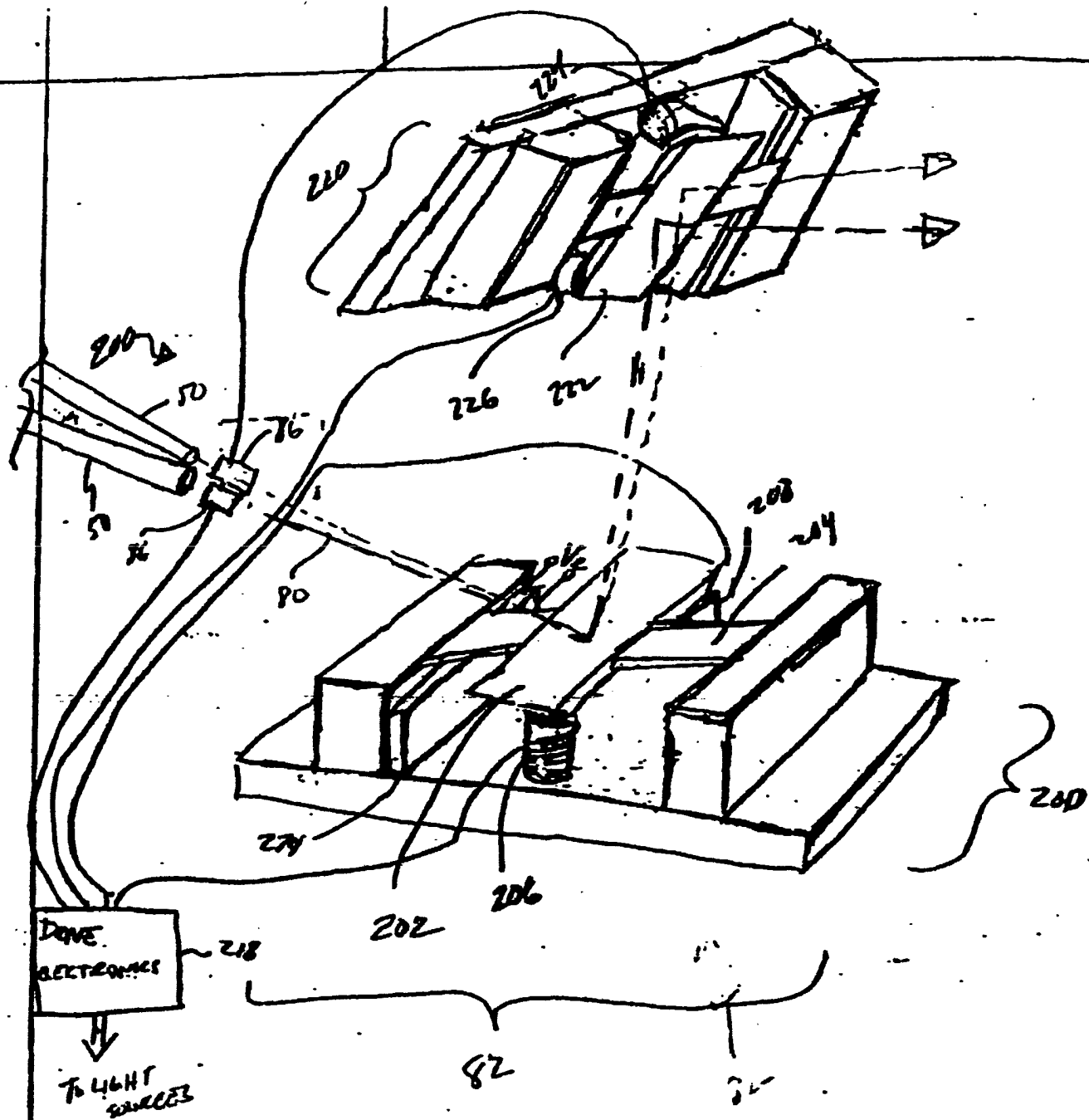


FIG. 7



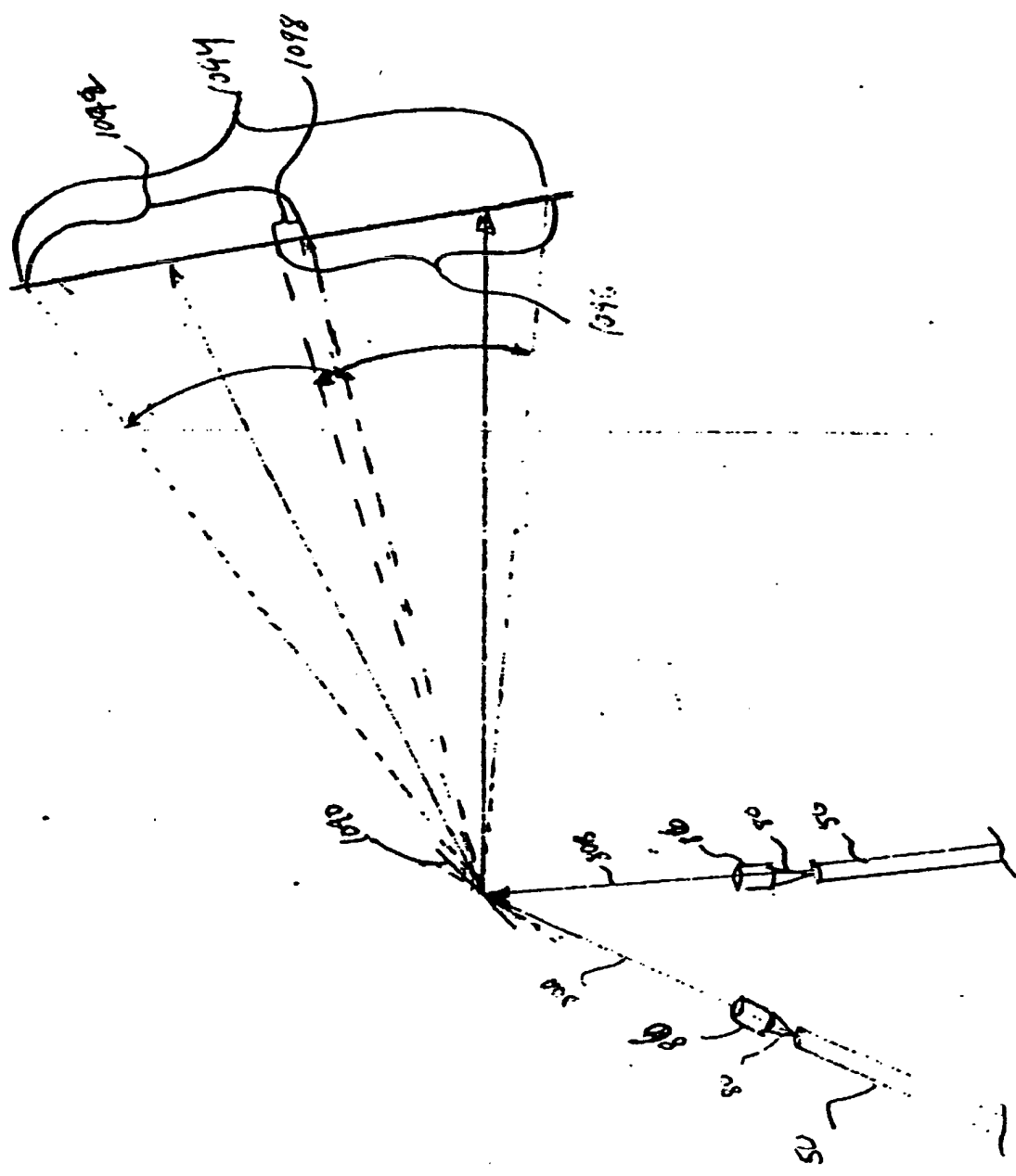


FIG 10

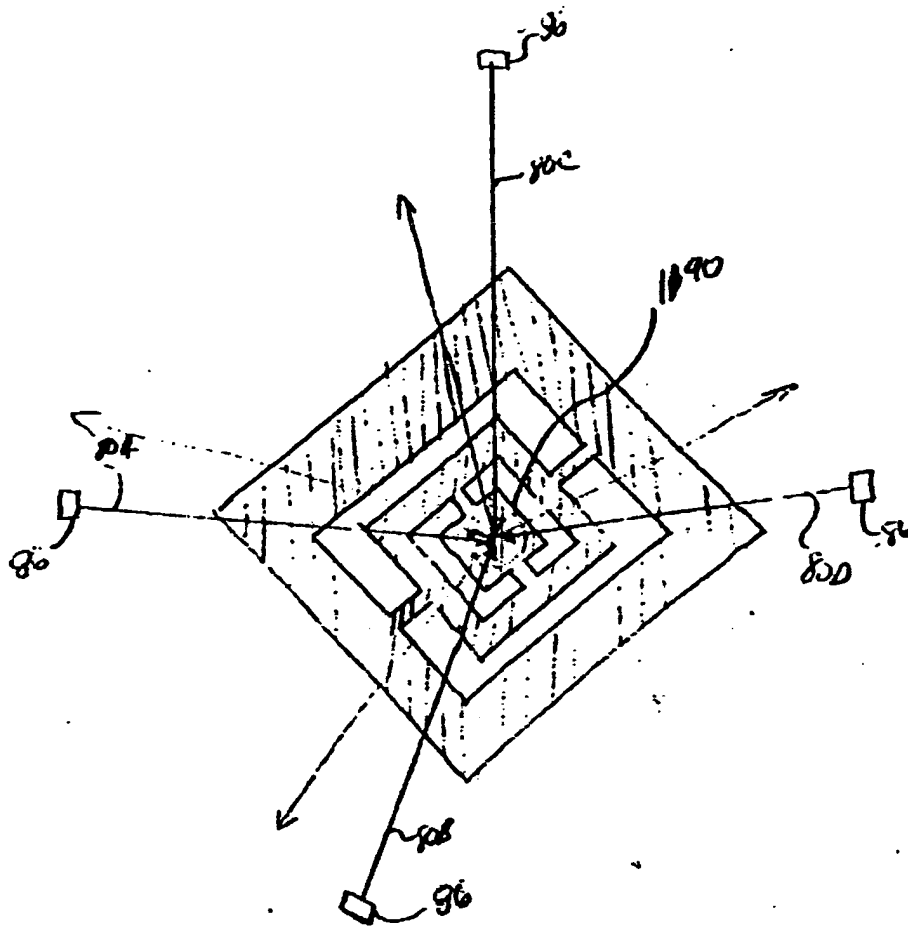
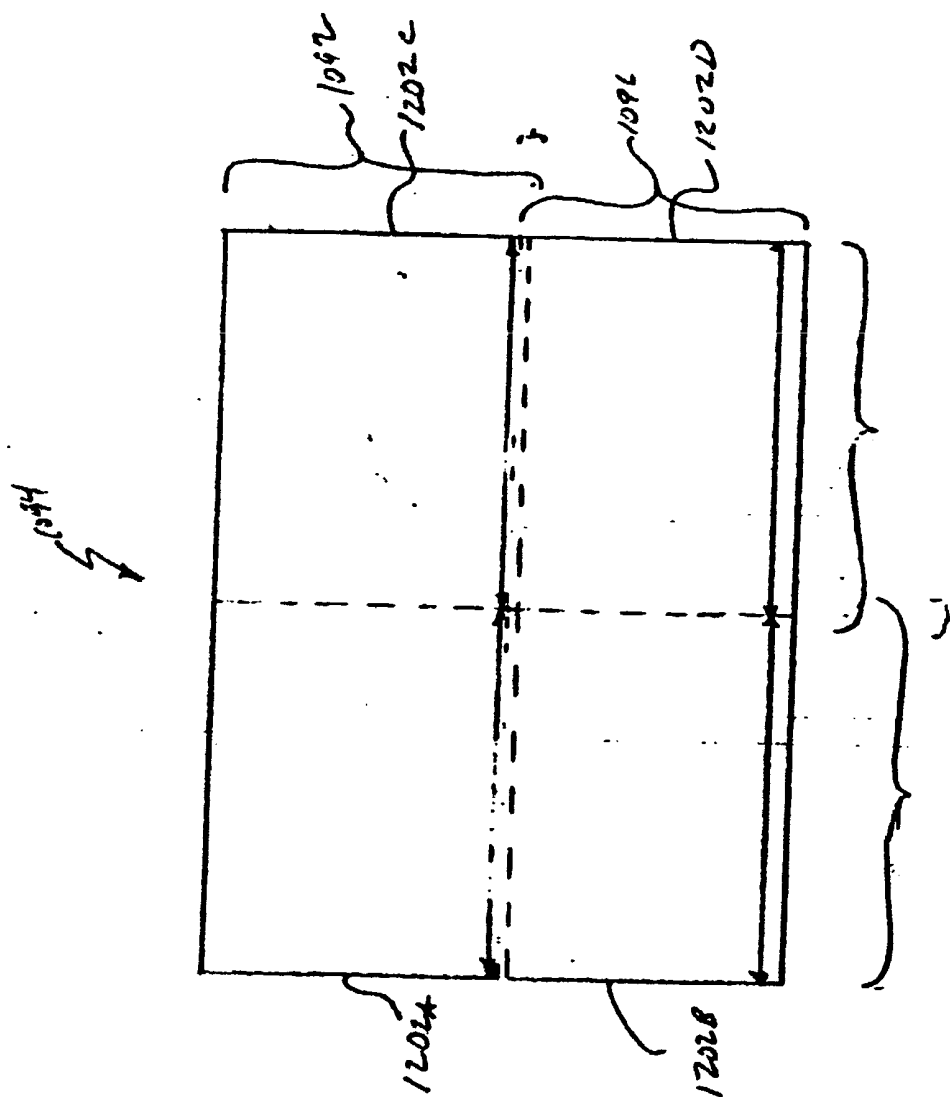


FIG. 11



F16.72

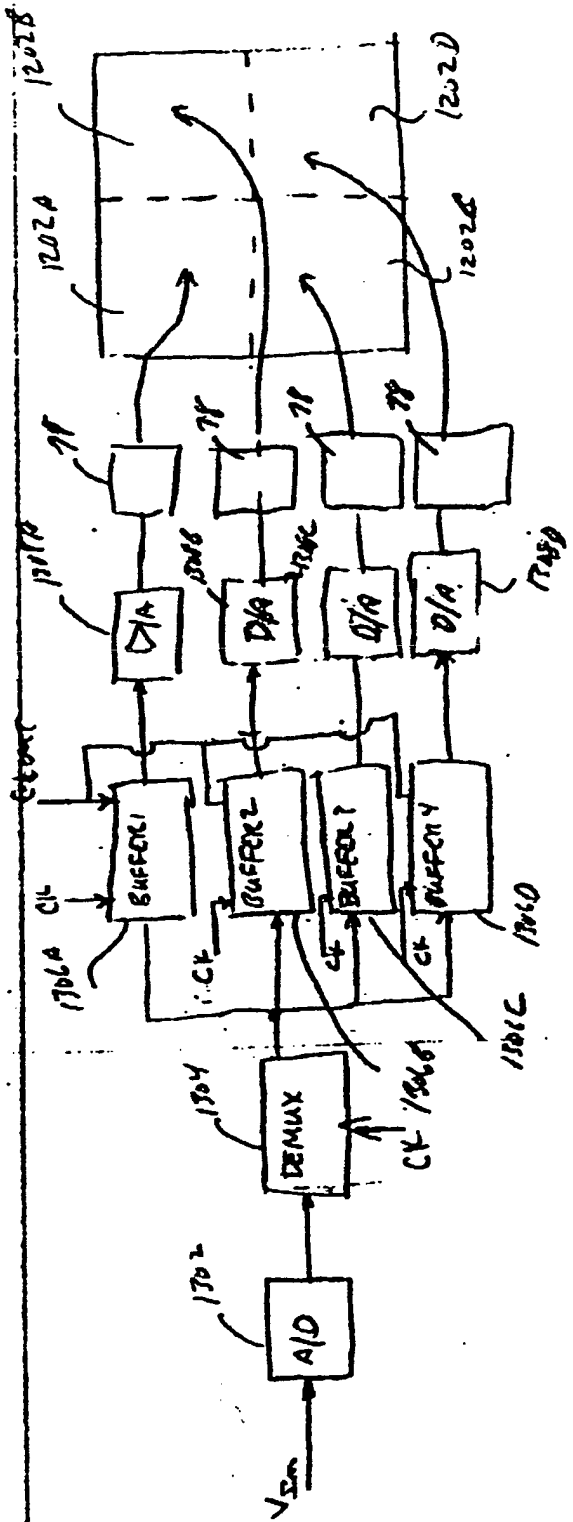
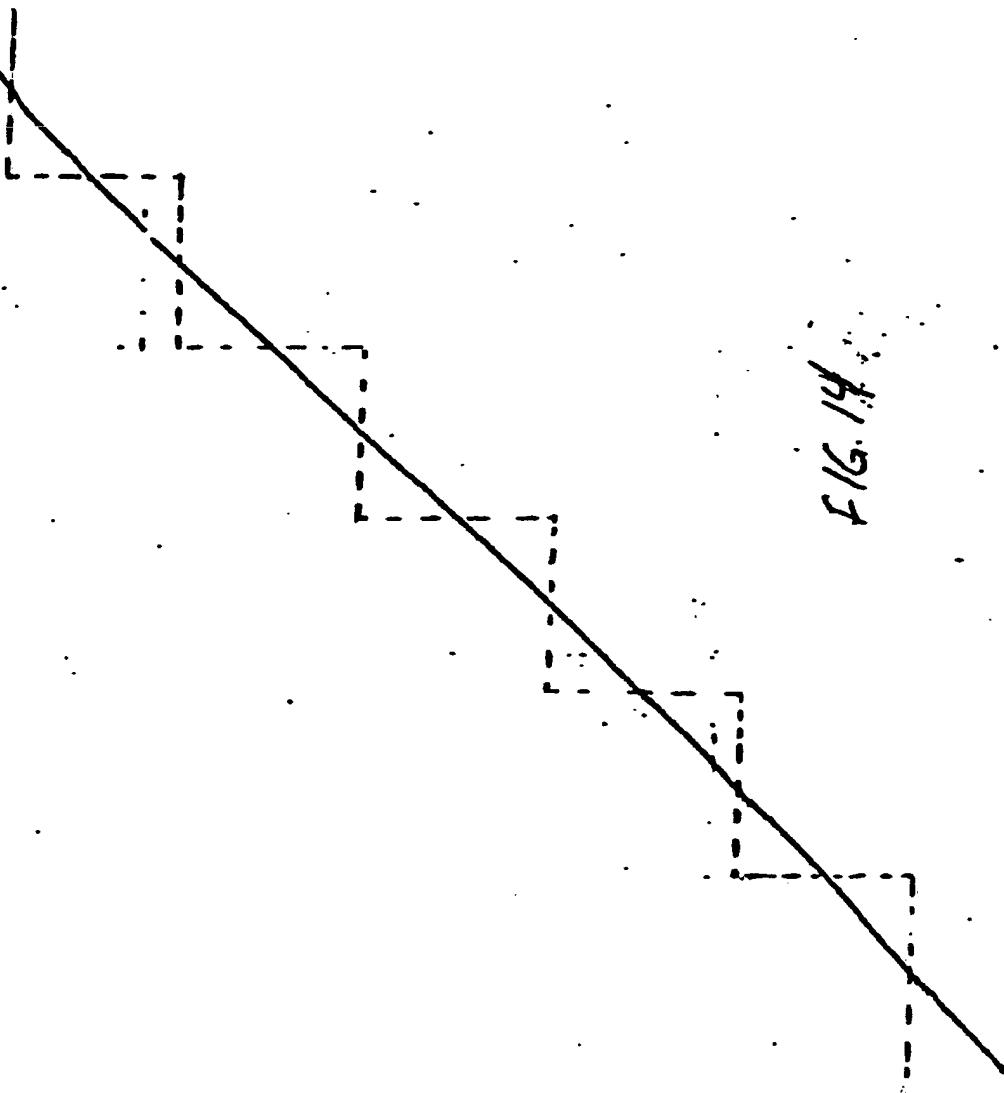


FIG 13

Fig. 14



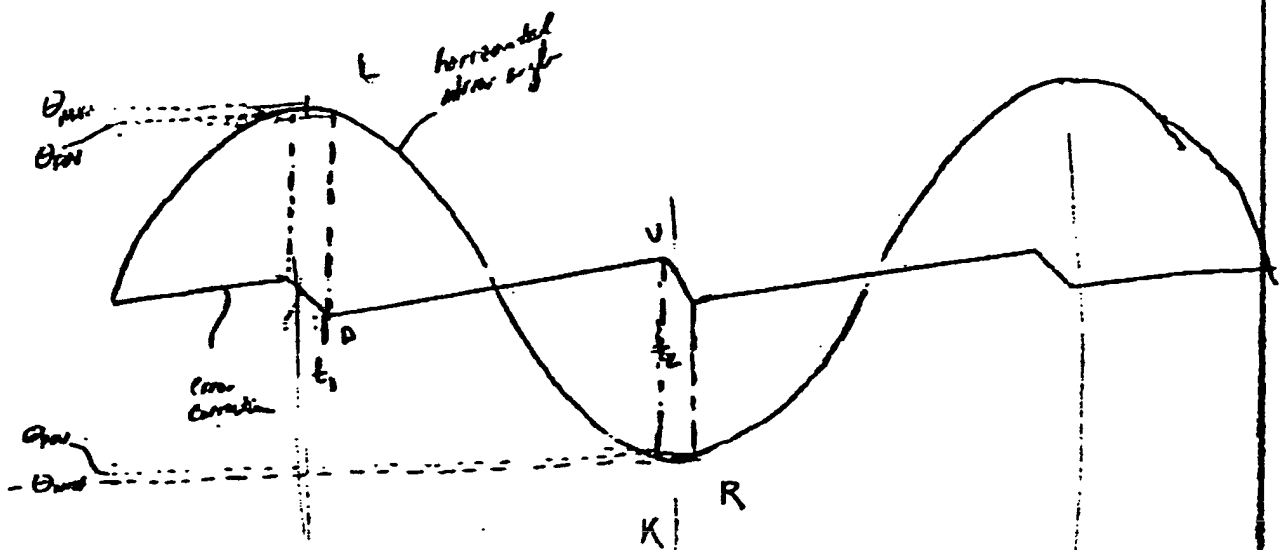


FIG 15

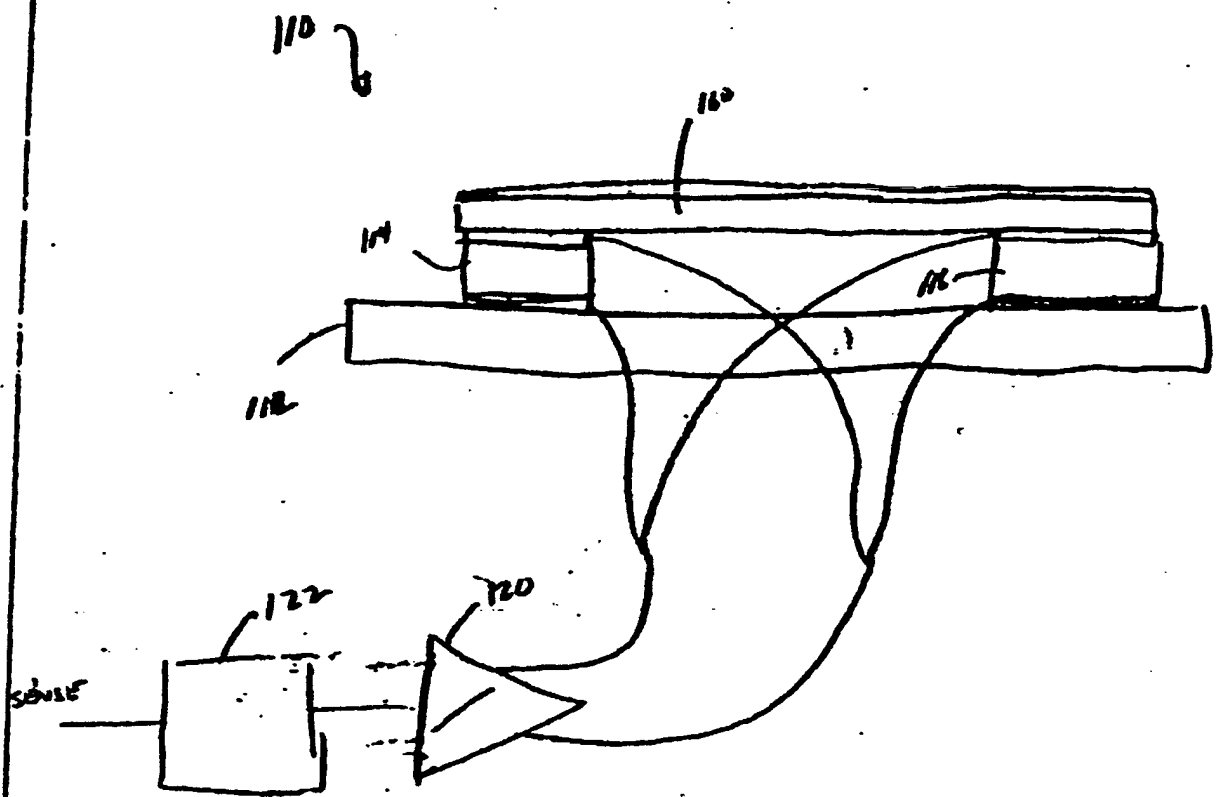


FIG 1.6

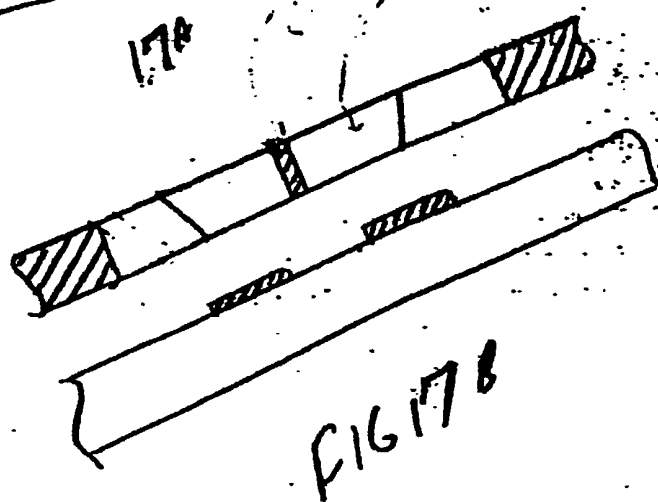
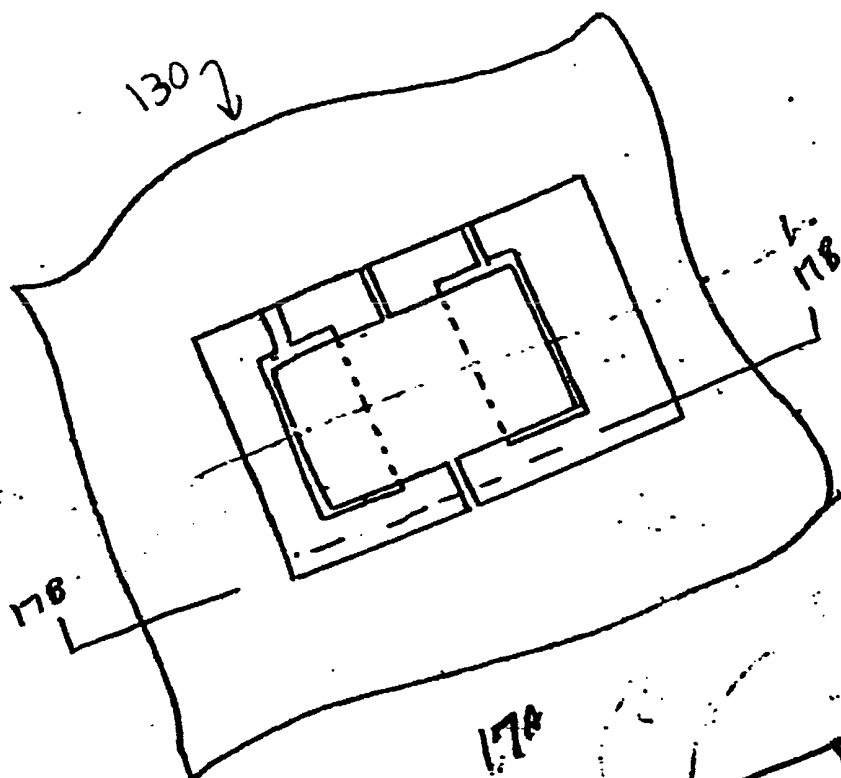


FIG 17 B

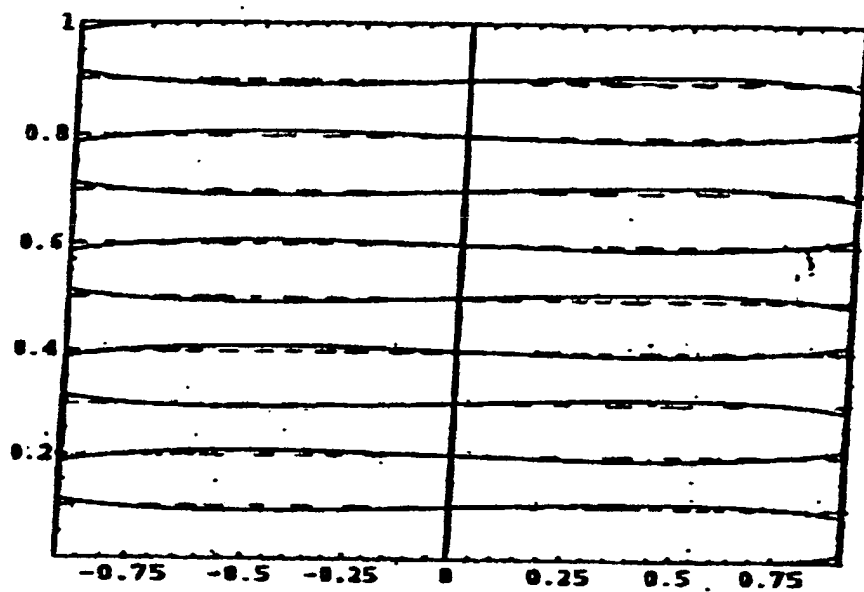


FIG. 18

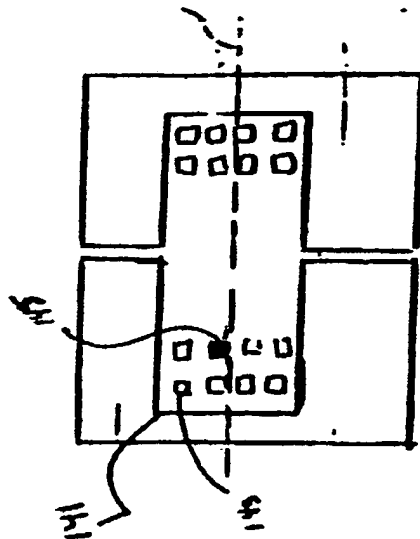


FIG 19

141

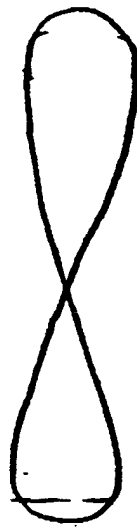


FIG 20

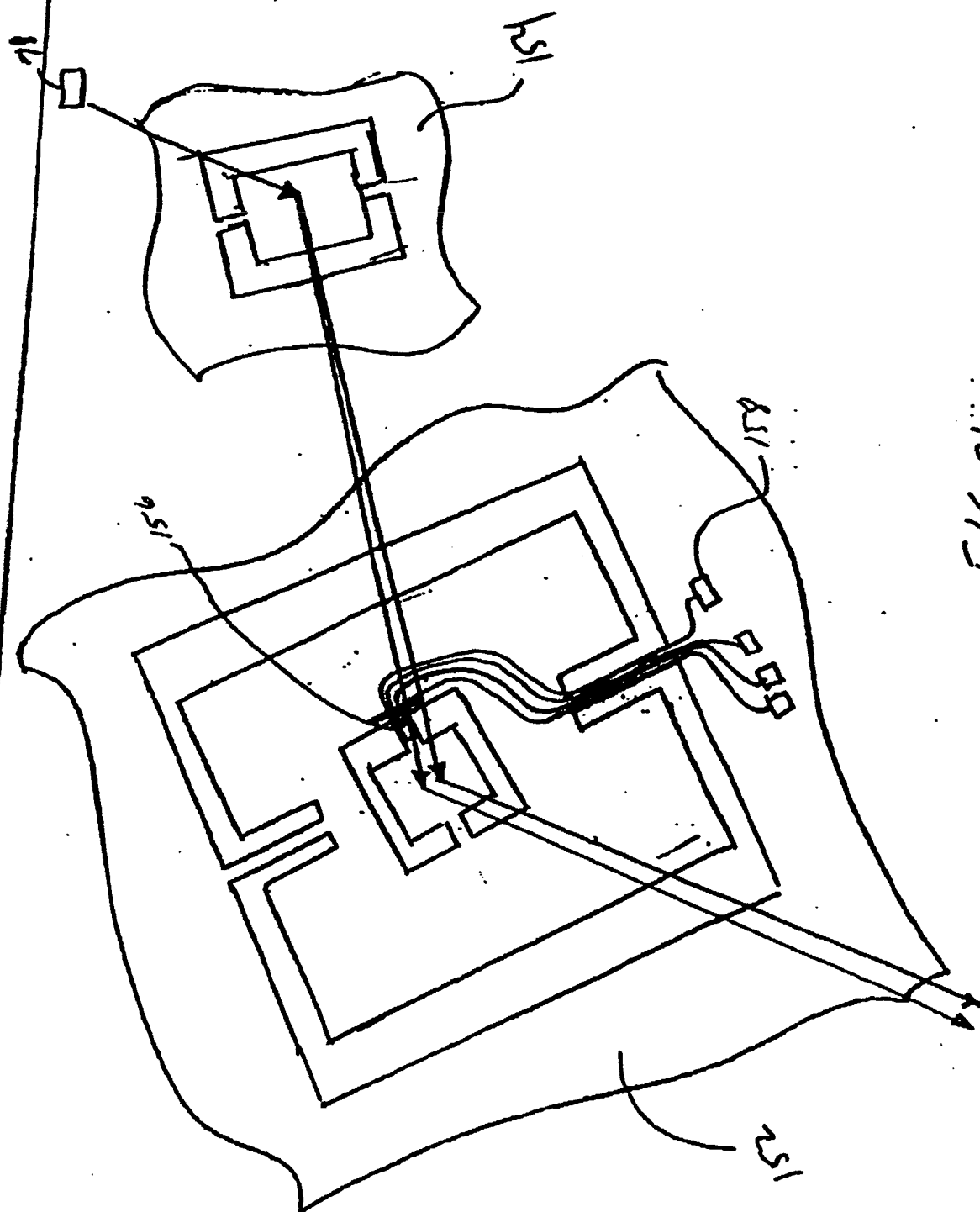
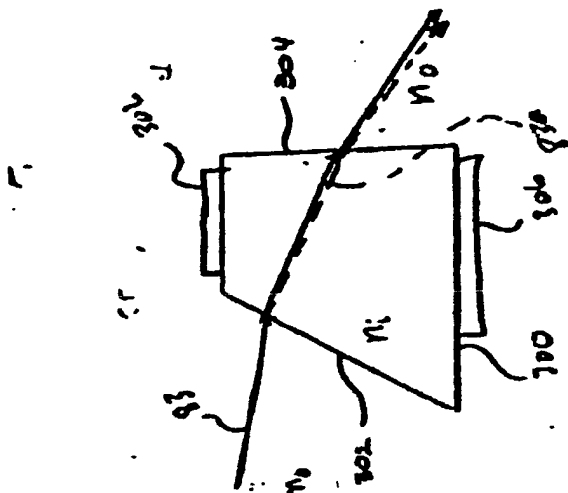
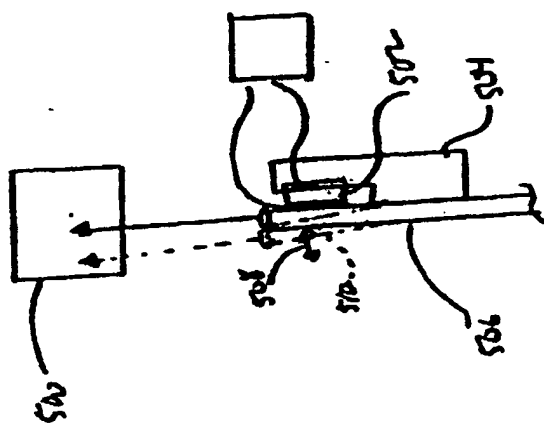


FIG. 21



F1623



F16,22

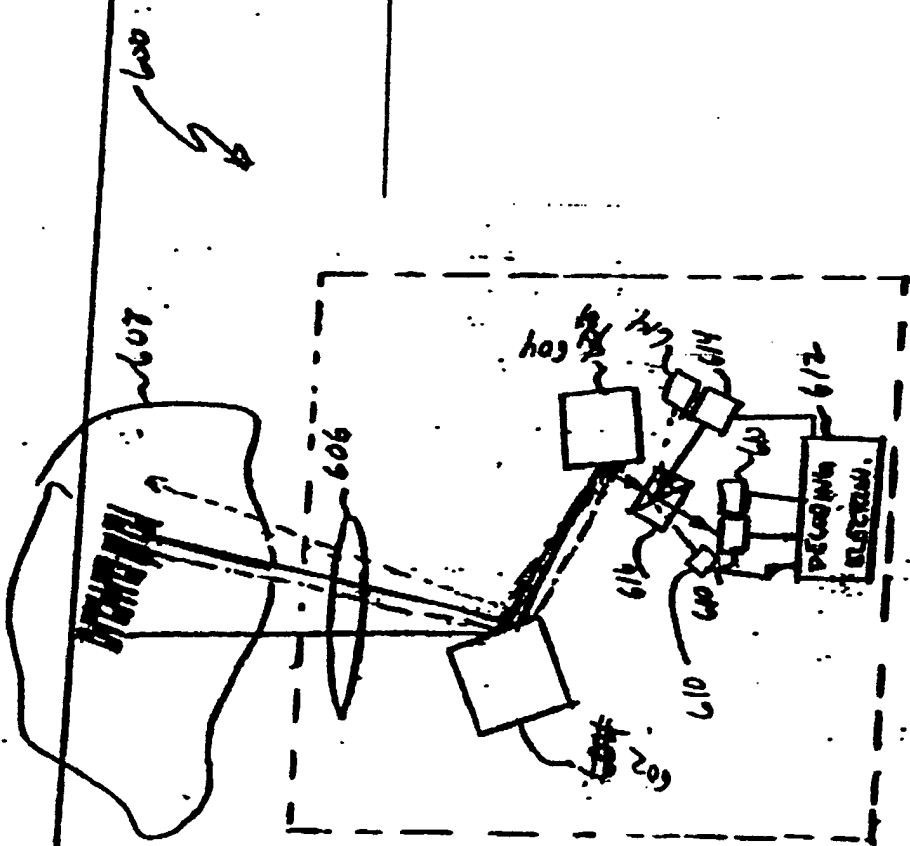


FIG. 24

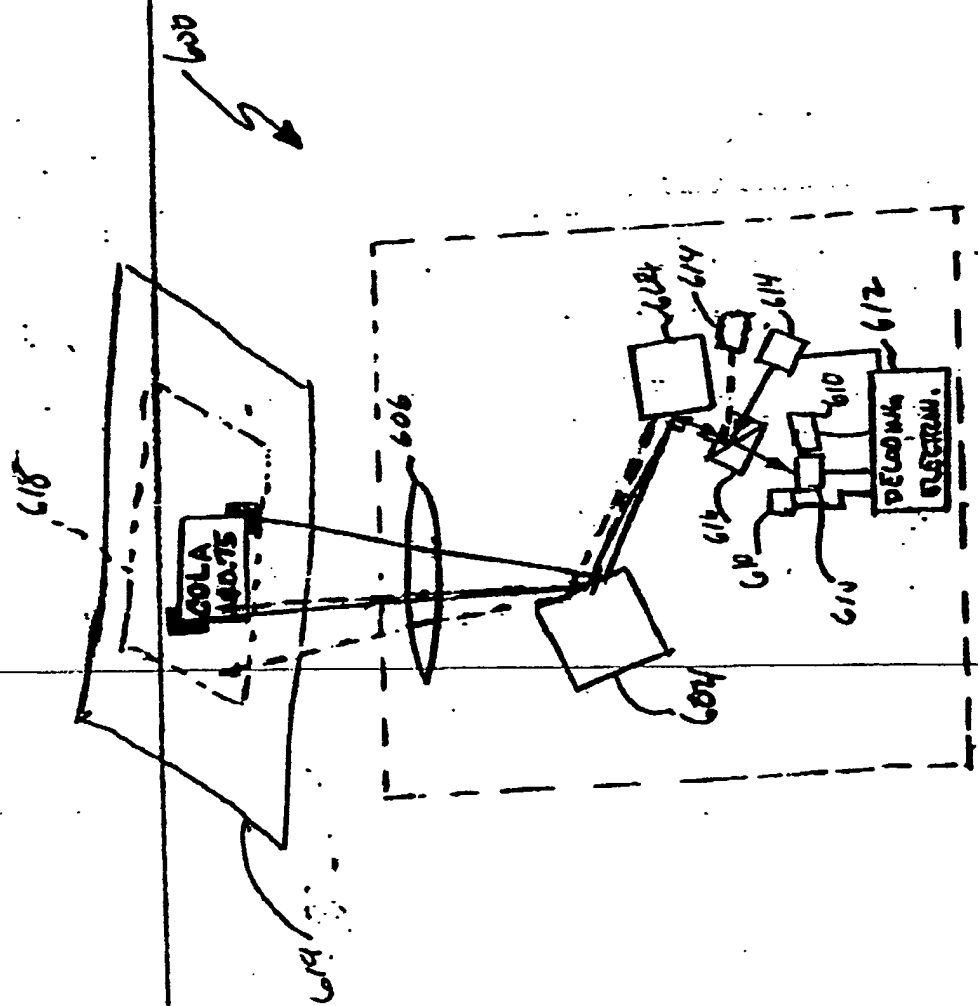
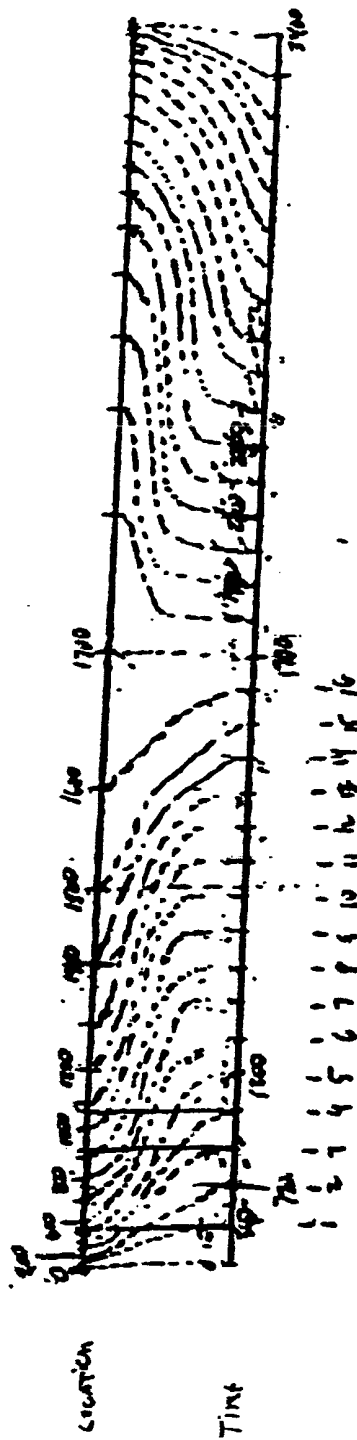


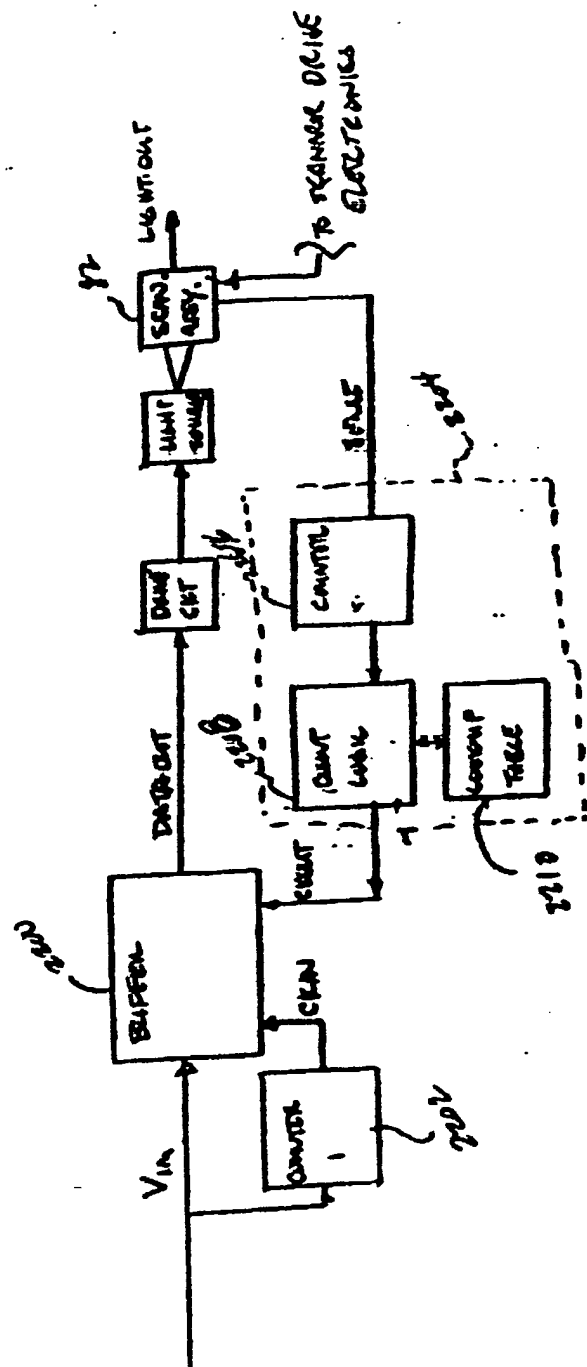
FIG 25



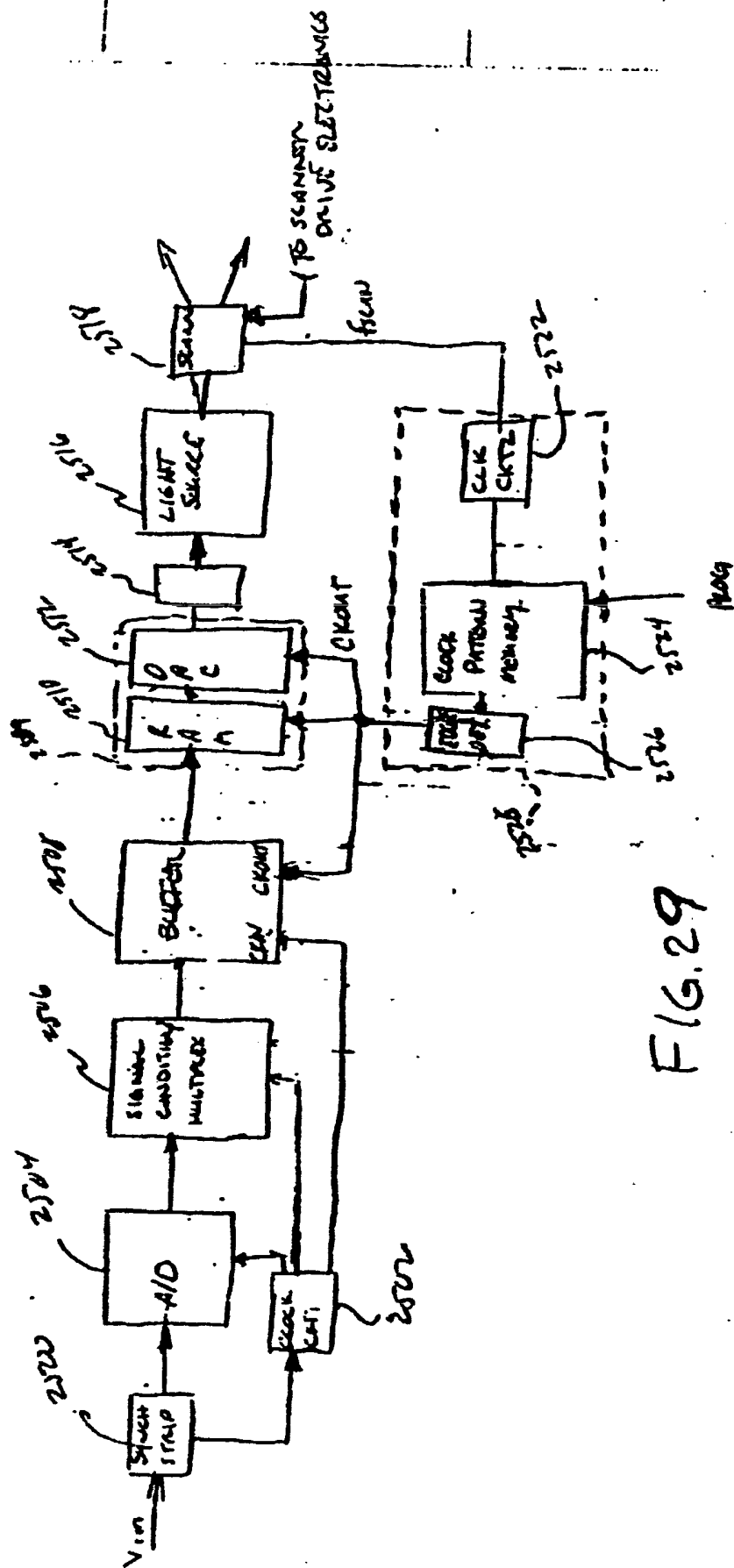
F1626



F1627



F/628



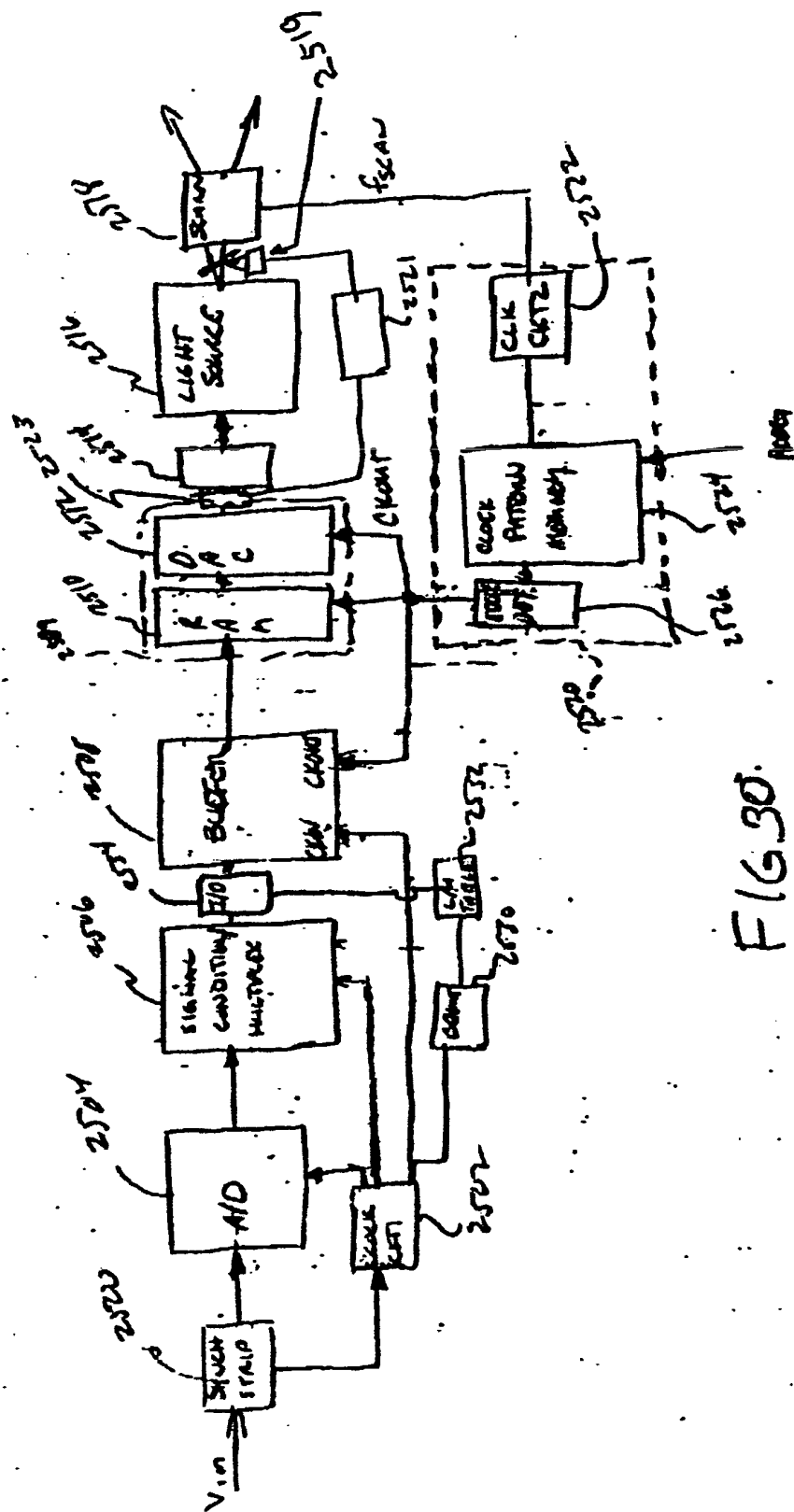


FIG. 30.

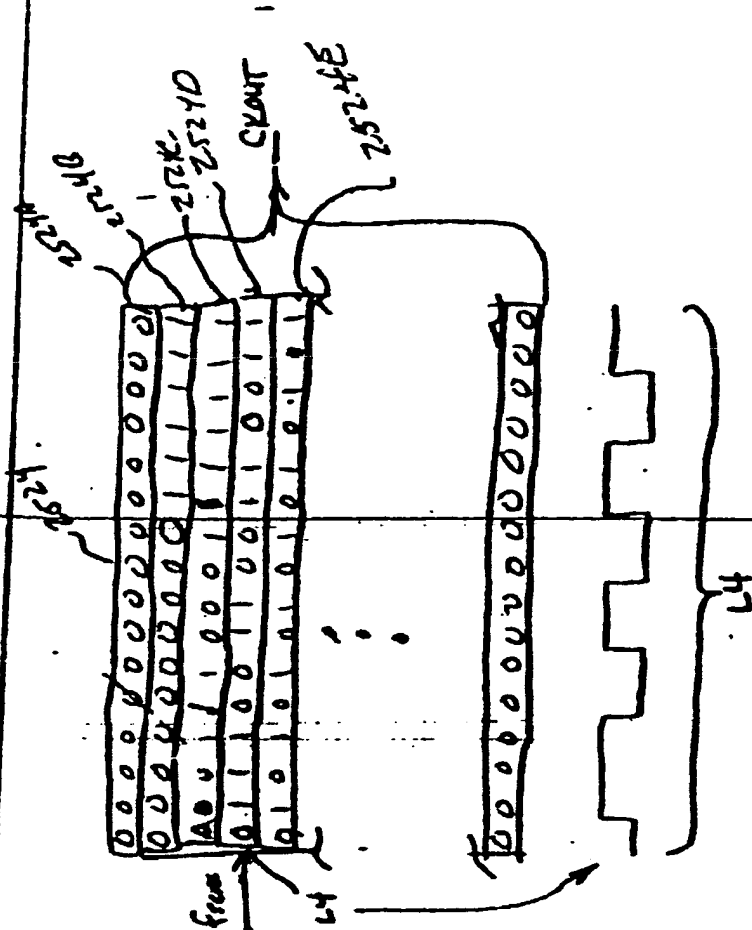


Fig. 31.

β_{10}	β_{11}	β_{12}	0	0	0	0	0	0	0
β_{20}	β_{21}	β_{22}	β_{23}	β_{24}	β_{25}	β_{26}	0	0	0
β_{30}	β_{31}	β_{32}	β_{33}	β_{34}	β_{35}	β_{36}	β_{37}	β_{38}	β_{39}

F 16.32

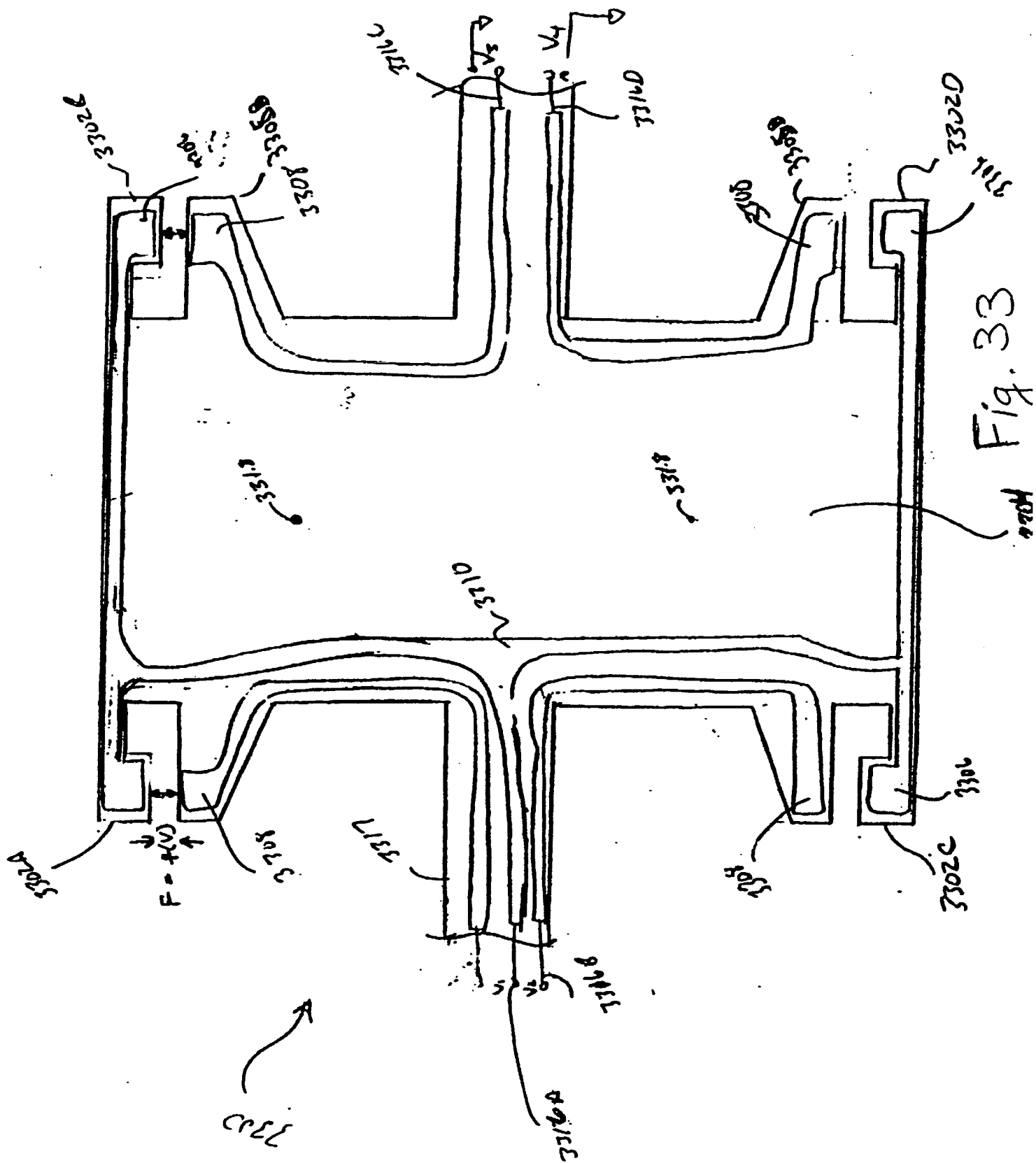
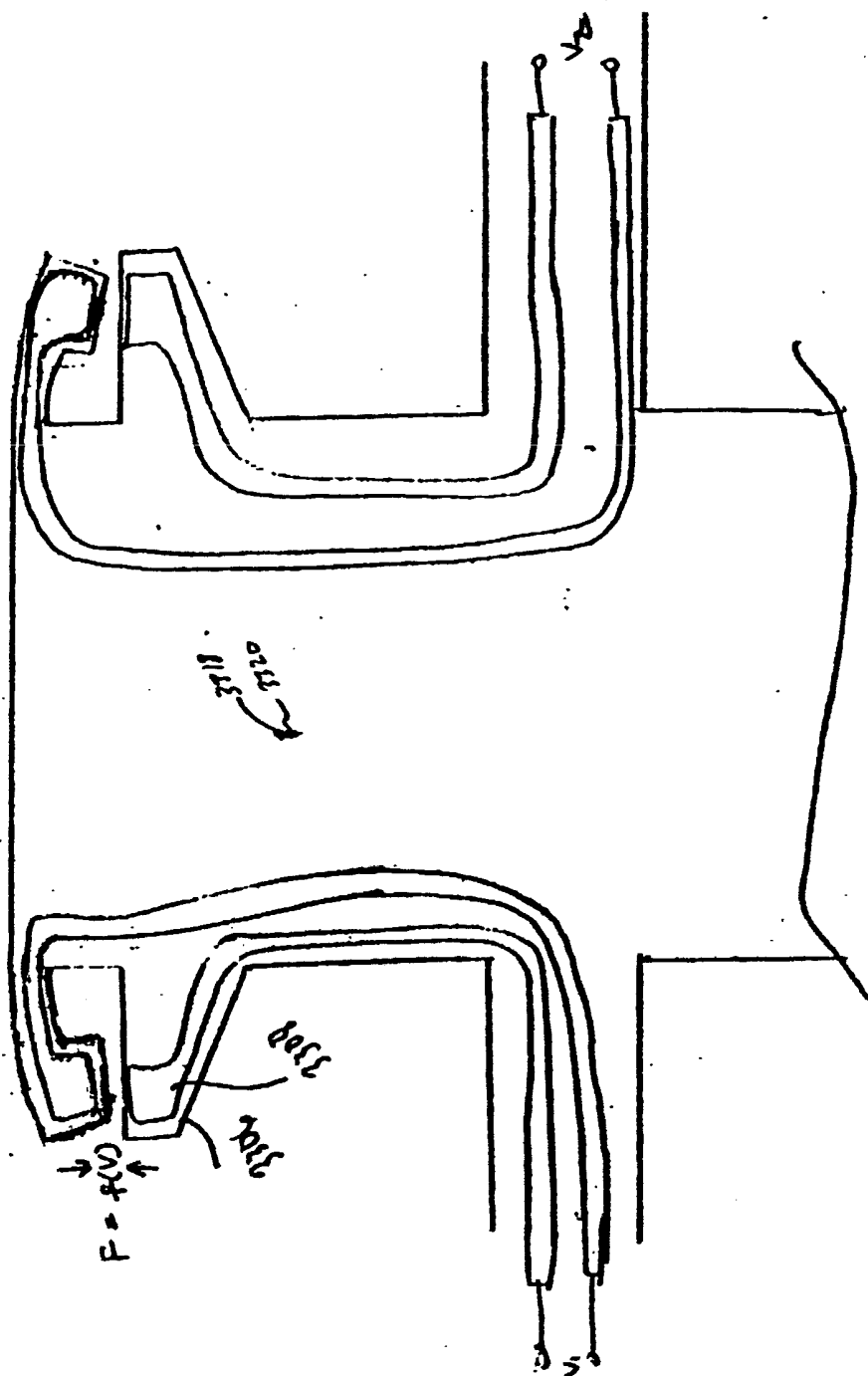
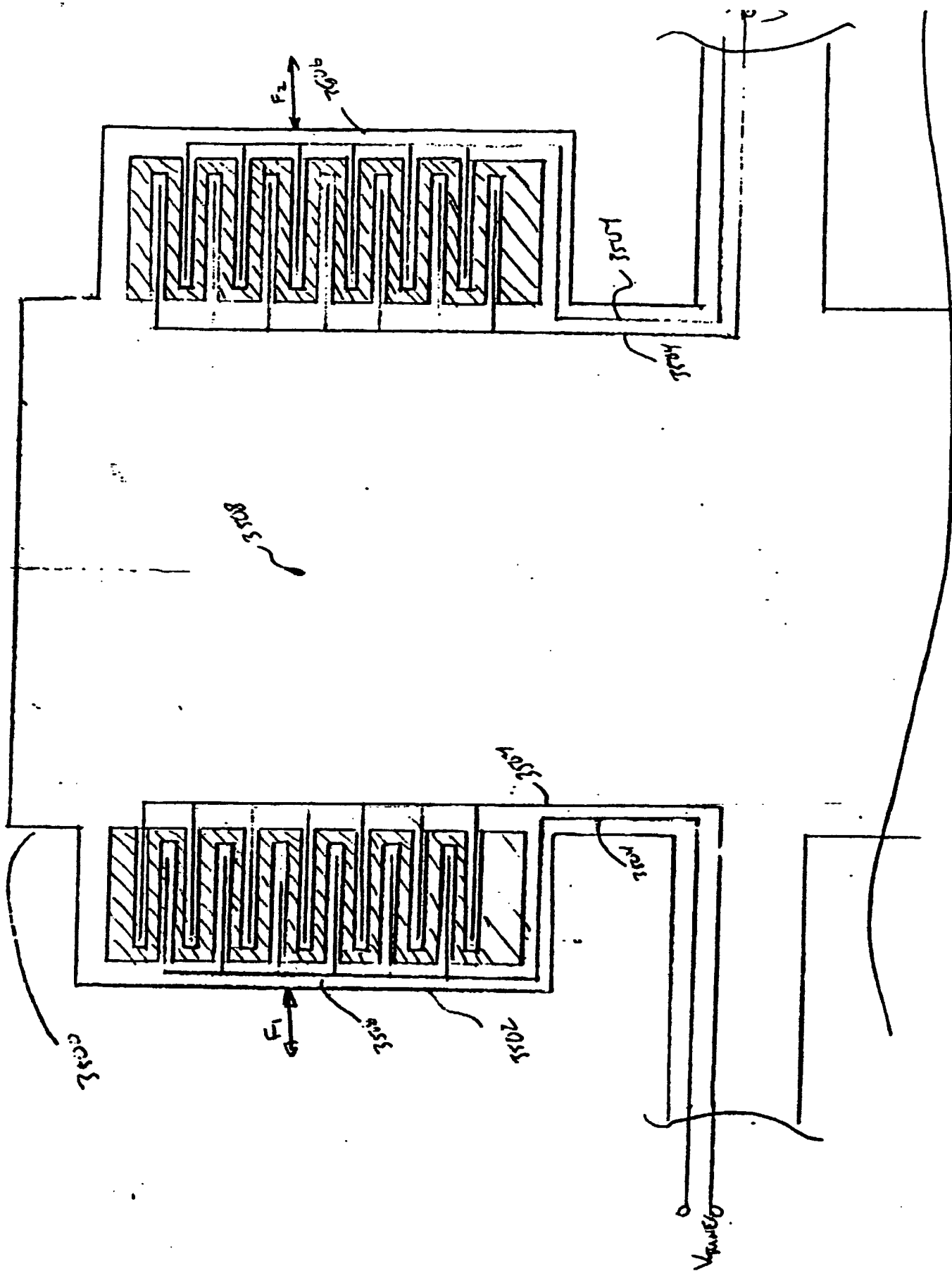


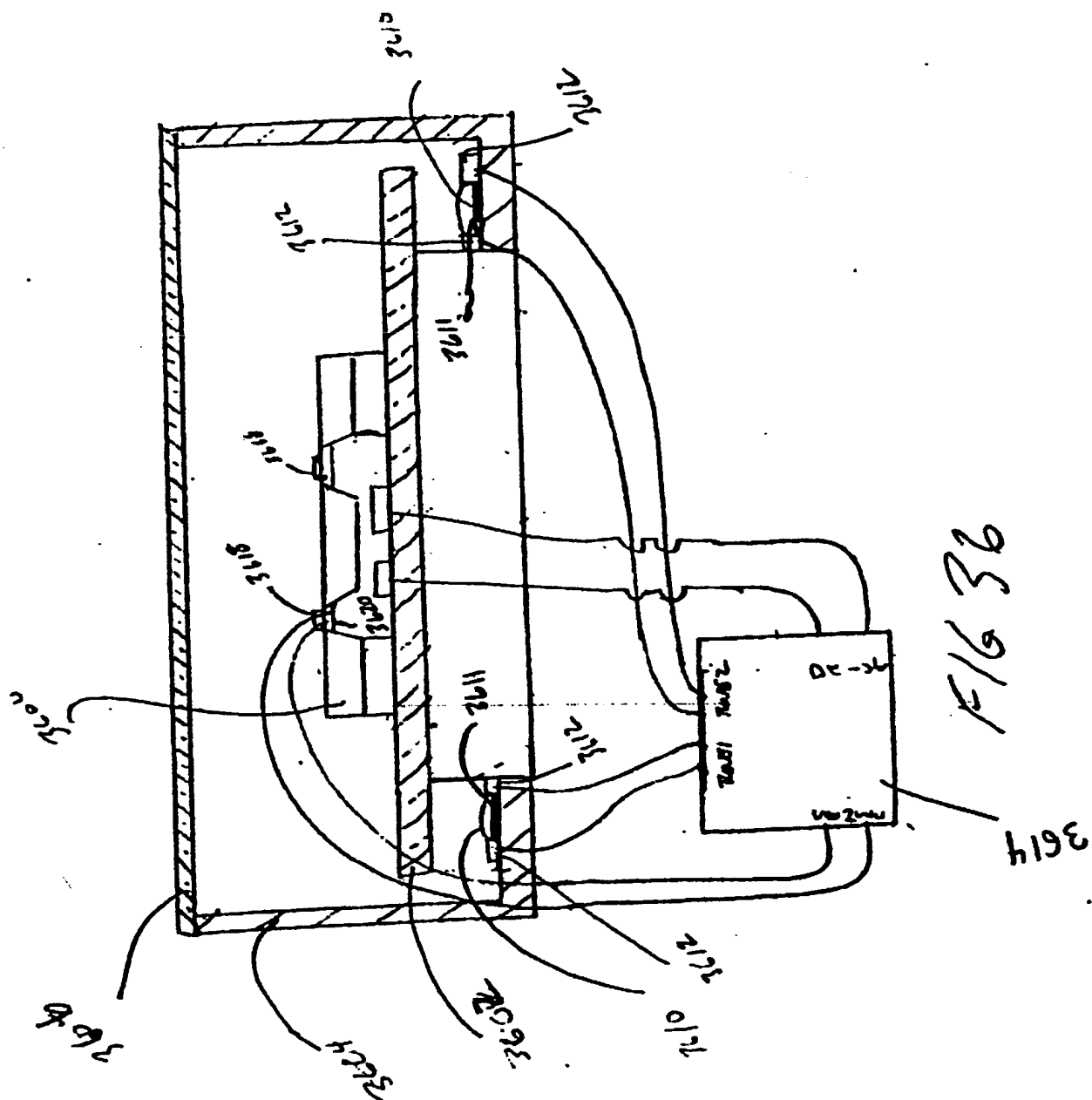
Fig. 33



F16 34



F/G 35



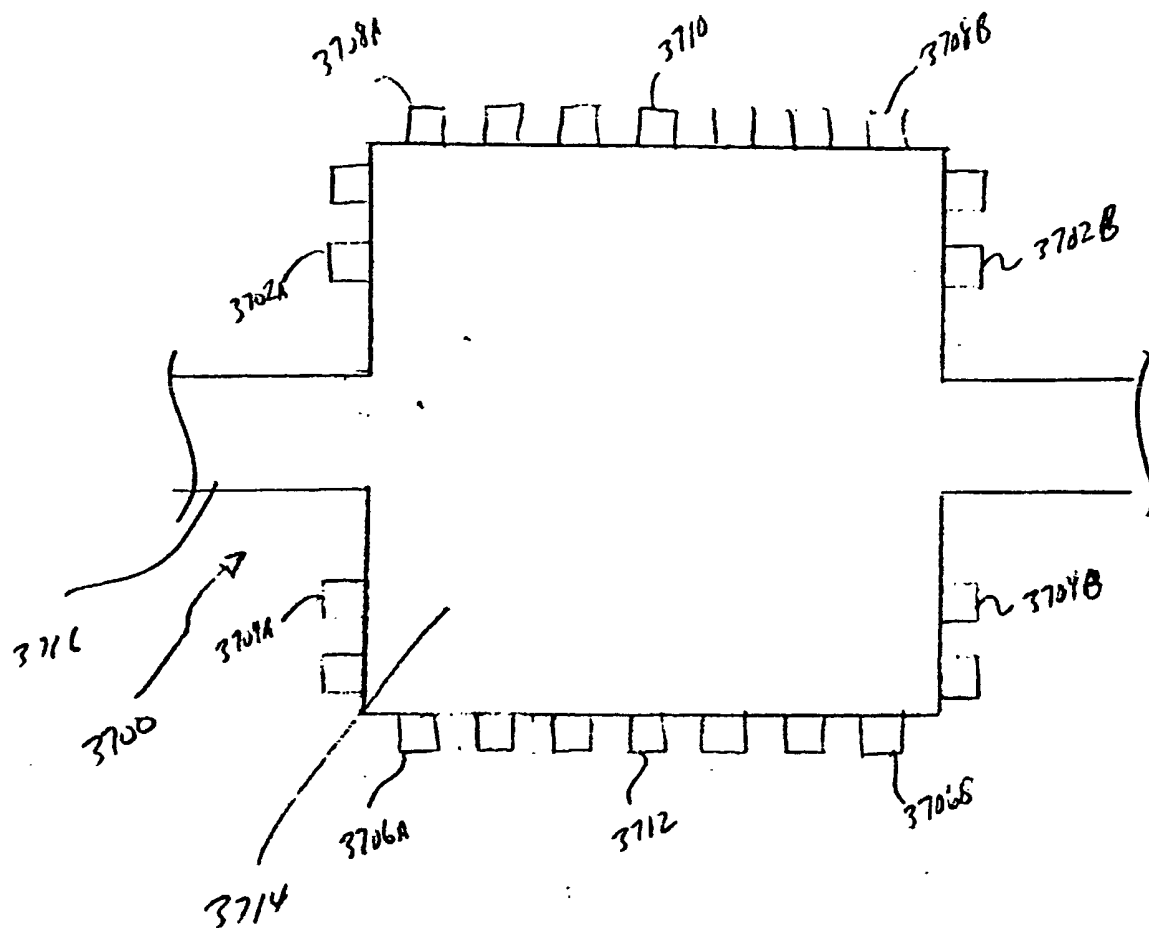


FIG 37

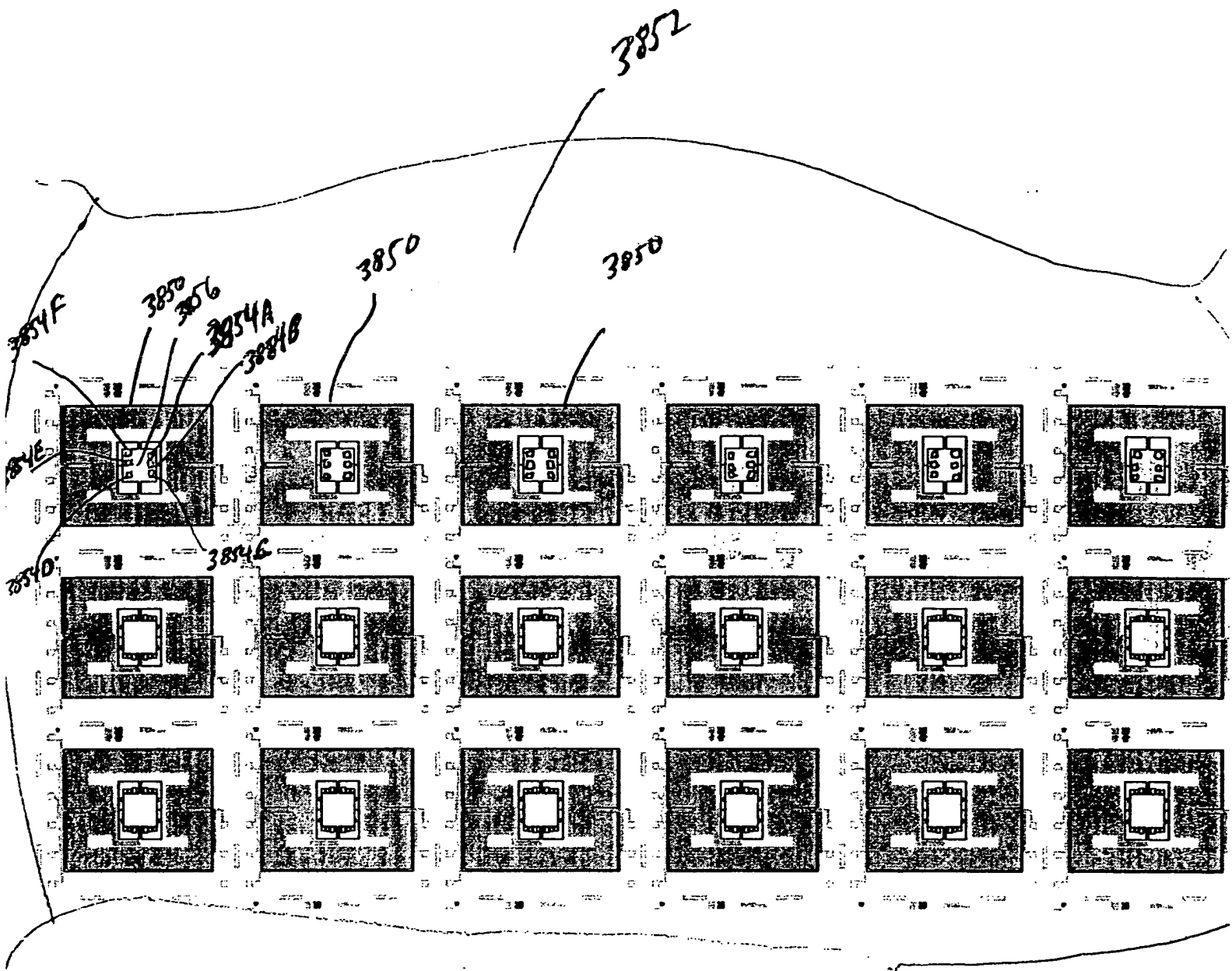


FIG 38A

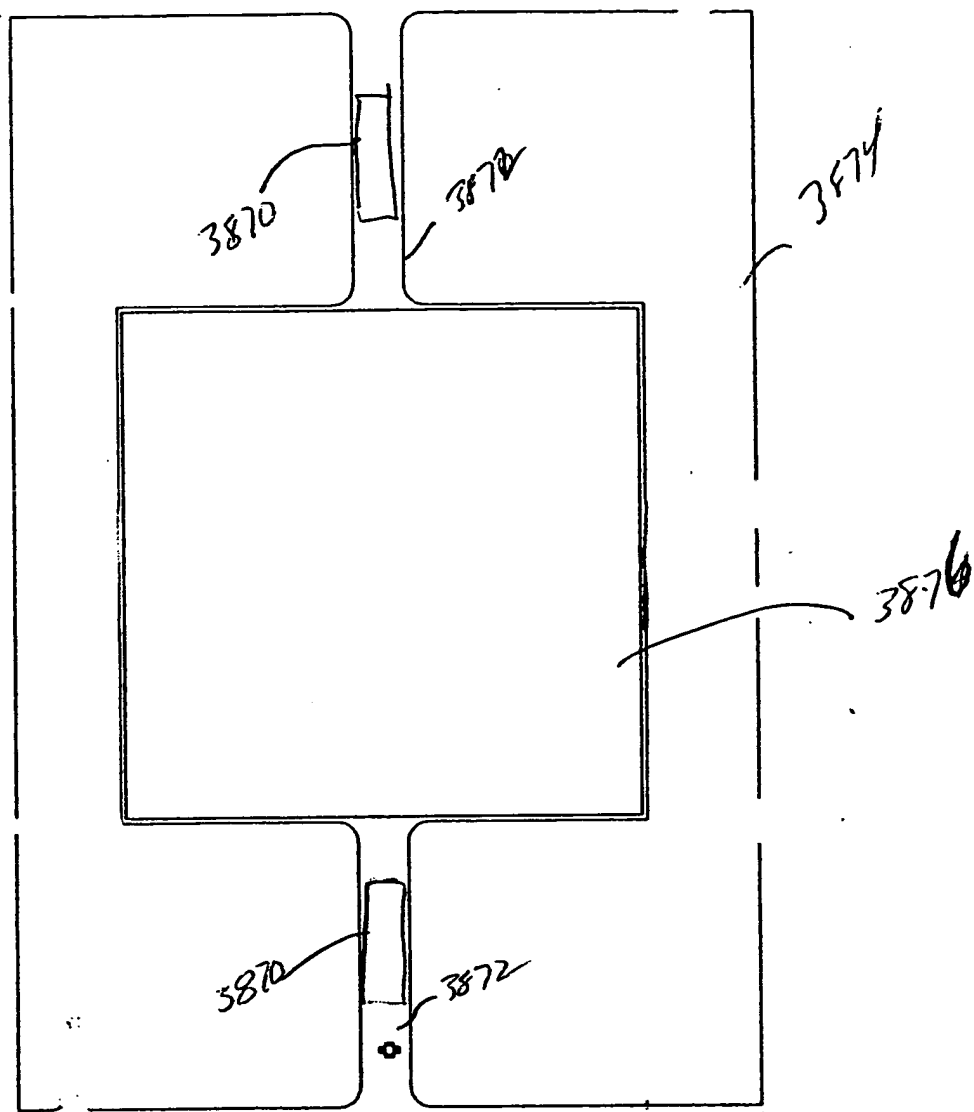


FIG 38 B

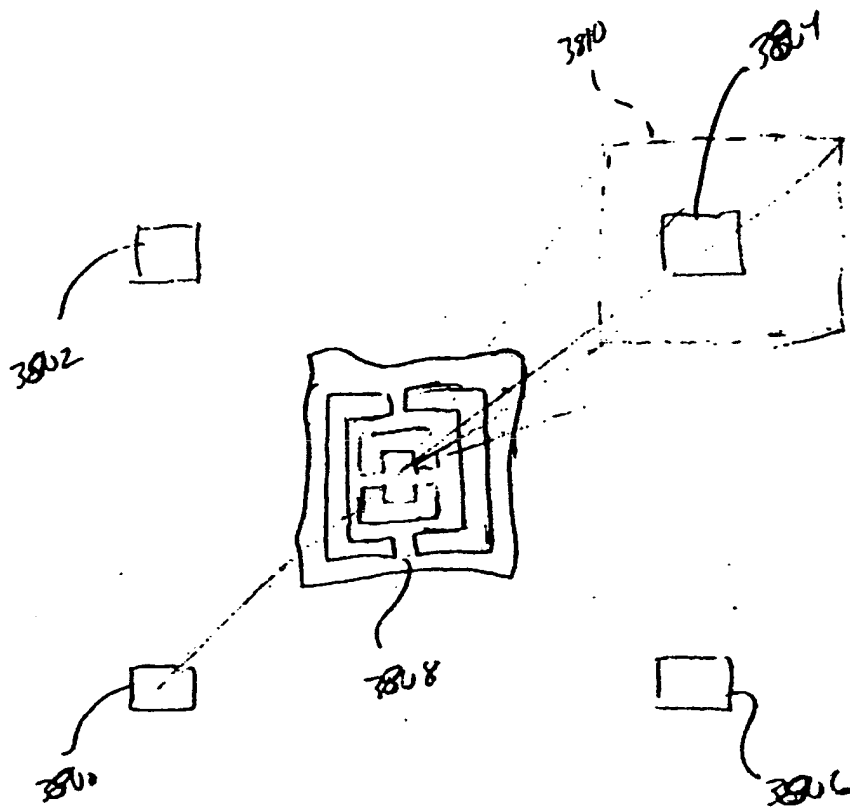


FIG 39

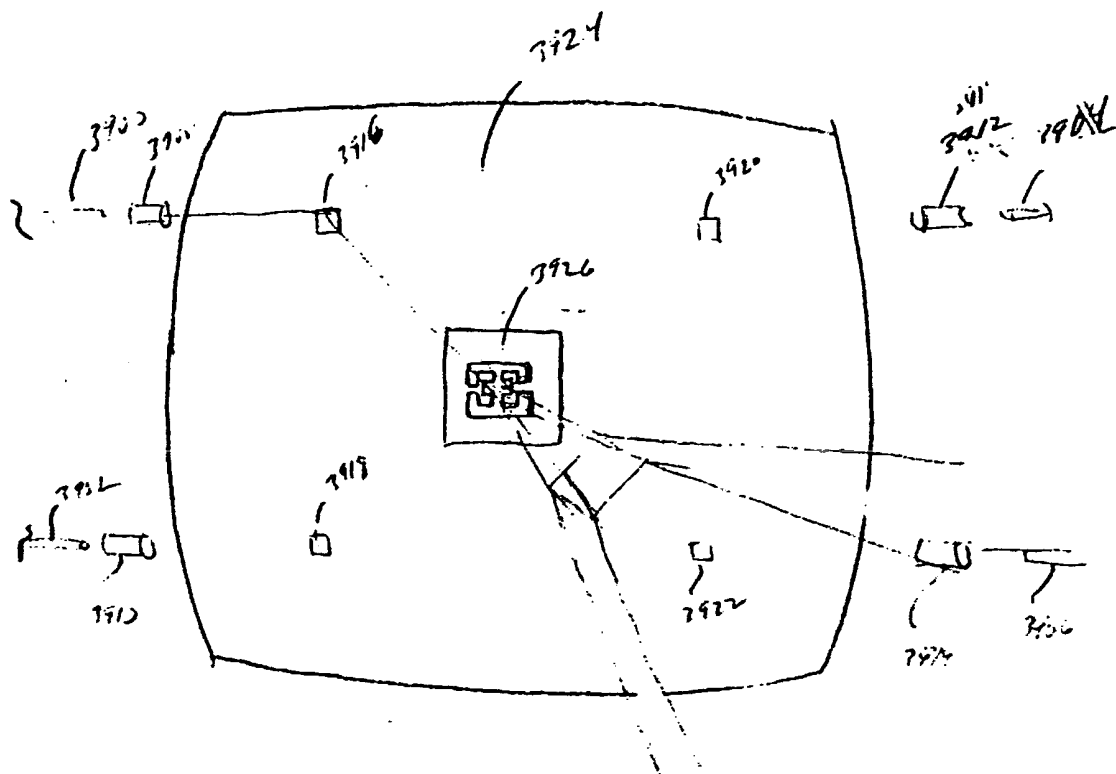
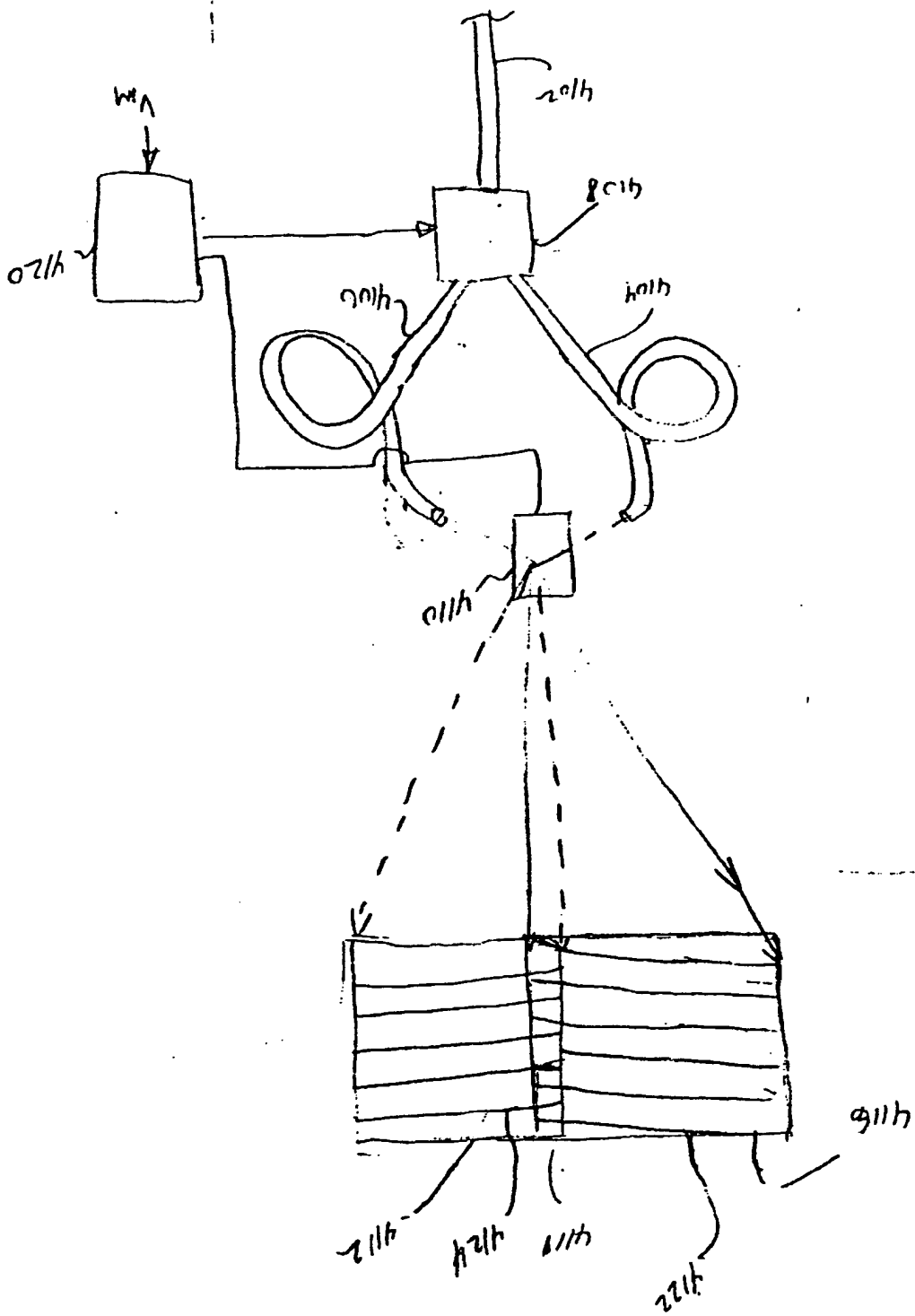


Figure 40

Fig 12



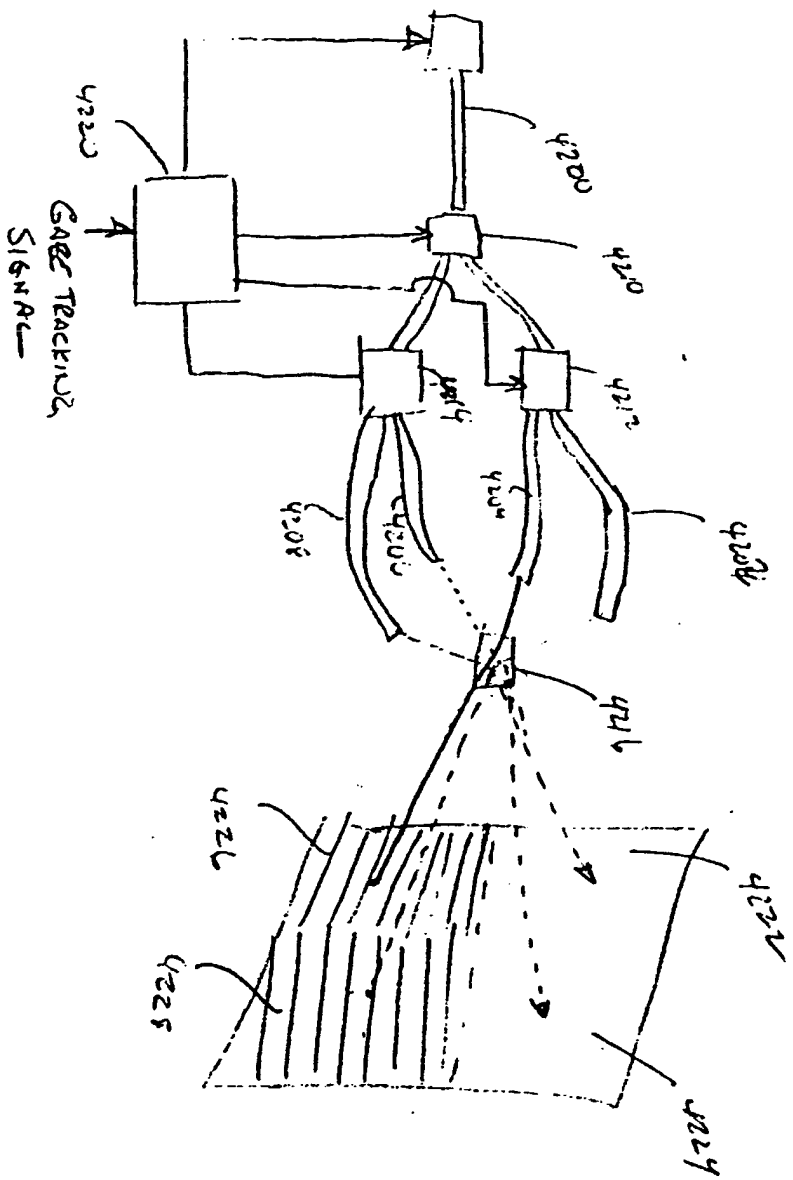


FIG 43